

材料の力学1 第9回演習問題 (2025/6/16 実施)

[1] 図1.1～図1.2のような断面を持つはりがある時、以下の設問に答えよ。

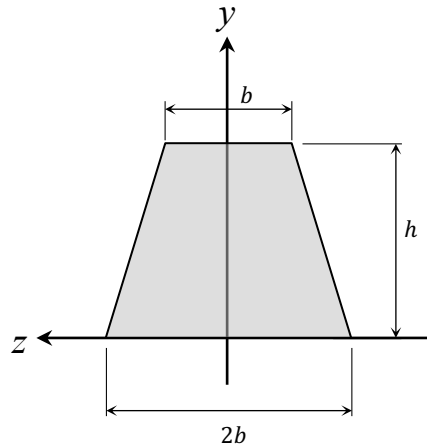


Fig. 1.1 台形断面

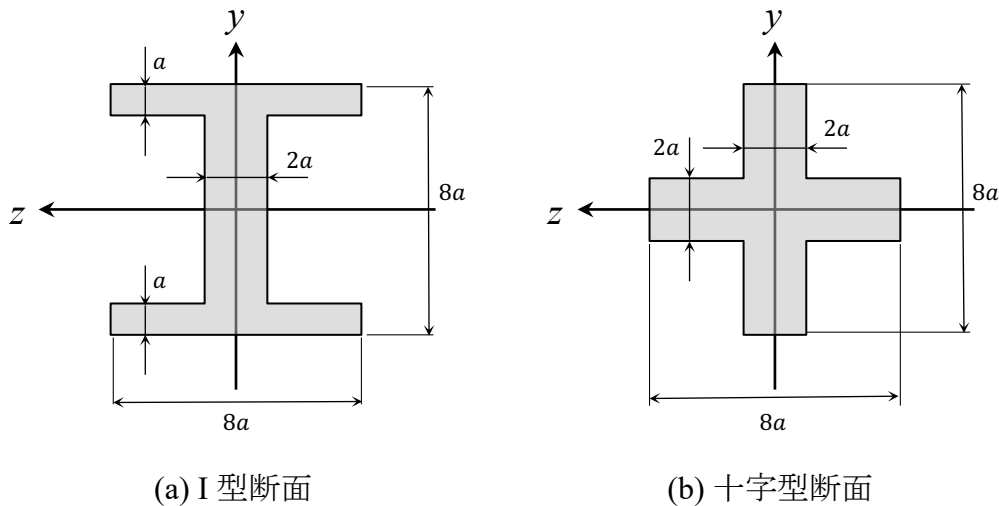


Fig. 1.2 同じ断面積を持つ2種類の断面

- (1) 図1.1について、 z 軸に関する断面一次モーメント S_z を求めるよ。
- (2) 図1.1について、図心の y 座標である y_c を求めるよ。
- (3) 図1.2(a)について、 z 軸に関する断面二次モーメント I_z を求めるよ。
- (4) 図1.2(b)について、 z 軸に関する断面二次モーメント I_z を求めるよ。
- (5) 図1.2(a), (b)の断面を持つ部材A, Bに対し y 軸方向の力が作用した場合、(3), (4)の結果からどちらの方が曲げに強い設計であると言えるか答えよ。また、その理由を「曲げ剛性」という言葉を用いて説明せよ。ただし、両者の縦弾性係数 E は等しいものとする。

(1) 図 1.1 について, z 軸に関する断面一次モーメント S_z を求めよ.

計算に必要になる微小面積 dA は以下のように考える.

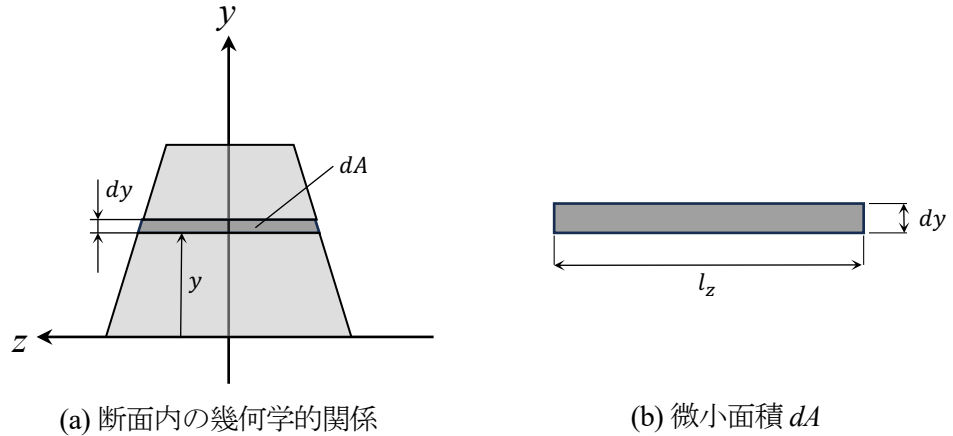


Fig. 1.3 台形断面の微小面積

微小面積 dA は、図 1.3 (b) のように近似できるため

$$dA = l_z \cdot dy = \left(2b - \frac{b}{h}y\right) dy \quad (1.1)$$

と表される、よって、断面一次モーメント S_z は

$$S_z = \int y dA = \int_0^h \left(2by - \frac{b}{h}y^2\right) dy = \left[by^2 - \frac{b}{3h}y^3\right]_0^h = \frac{2}{3}bh^2 \quad (1.2)$$

となる.

(2) 図 1.1 について、図心の y 座標である y_c を求めよ.

図心の y 座標である y_c は、前問で求めた断面一次モーメントを用いて、

$$y_c = \frac{S_z}{A} = \frac{\frac{2}{3}bh^2}{\frac{3}{2}bh} = \frac{4}{9}h \quad (1.3)$$

と求められる. ここで A は、台形の面積である.

(3) 図 1.2 (a)について, z 軸に関する断面二次モーメント I_z を求めよ.

図 1.2 (a) の断面二次モーメントは, 図 1.4 のように①の長方形の断面二次モーメント I_{z1} から, ②の長方形の断面二次モーメント I_{z2} を 2 つ分引くことで求められる.

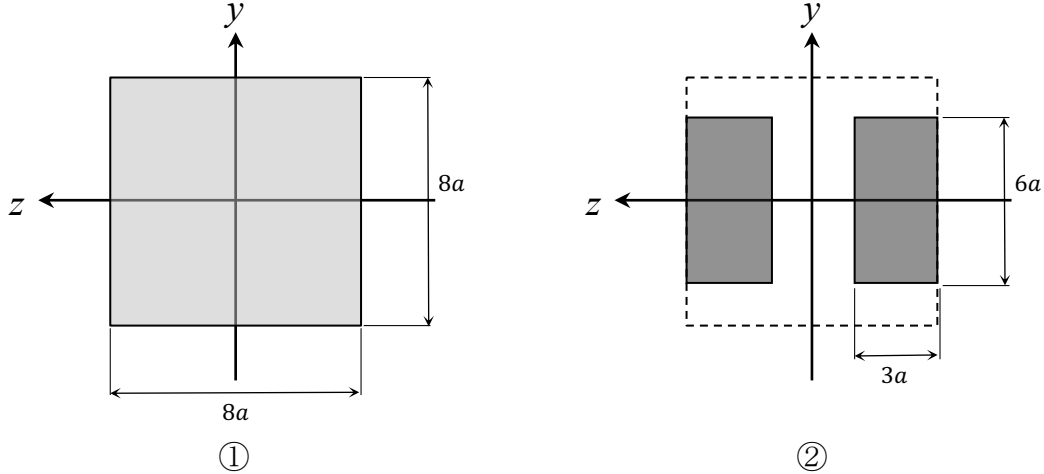


Fig. 1.4 断面の分割 ((a) I 型断面)

それぞれ z 軸に対称であるため長方形形状の断面二次モーメントの式を用いて, 以下のように求められる.

$$I_{z1} = \frac{1}{12} \cdot 8a \cdot (8a)^3 = \frac{1024}{3}a^4 \quad (1.4)$$

$$I_{z2} = \frac{1}{12} \cdot 3a \cdot (6a)^3 = 54a^4 \quad (1.5)$$

従って, 求める値は

$$I_z = I_{z1} - 2I_{z2} = \frac{1024}{3}a^4 - 2 \cdot 54a^4 = \frac{700}{3}a^4 \quad (1.6)$$

(4) 図 1.2 (b)について, z 軸に関する断面二次モーメント I_z を求めよ.

図 1.2 (b) の断面二次モーメントは, 図 1.5 のように①の長方形の断面二次モーメント I_{z1} と②の長方形の断面二次モーメント I_{z2} 2 分の和で求められる.

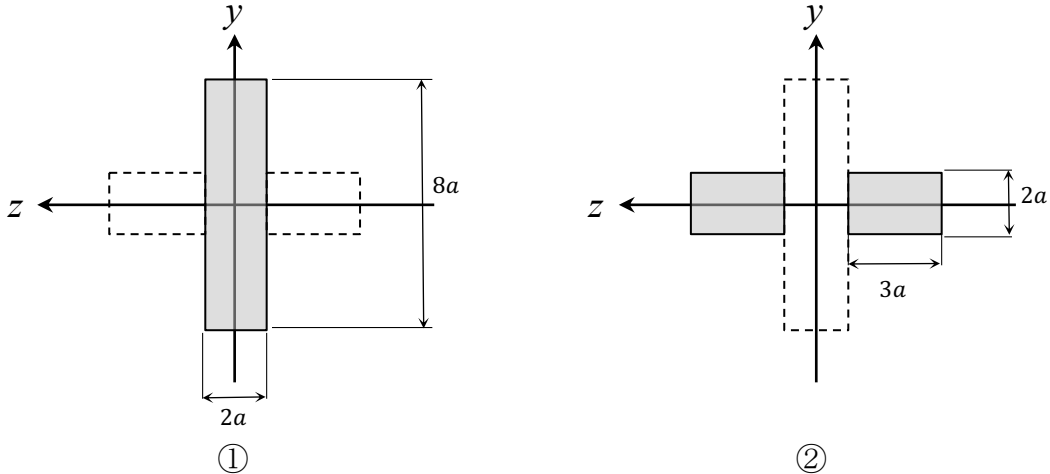


Fig. 1.5 断面の分割 ((b) 十字型断面)

それぞれ z 軸に対称であるため、長方形形状の断面二次モーメントの式を用いて、

$$I_{z1} = \frac{1}{12} \cdot 2a \cdot (8a)^3 = \frac{256}{3}a^4 \quad (1.7)$$

$$I_{z2} = \frac{1}{12} \cdot 3a \cdot (2a)^3 = 2a^4 \quad (1.8)$$

従って、求める値は

$$I_z = I_{z1} + 2I_{z2} = \frac{256}{3}a^4 + 2 \cdot 2a^4 = \frac{268}{3}a^4 \quad (1.9)$$

(5) 図 1.2 (a), (b) の断面を持つ部材 A, B に対し y 軸方向の力が作用した場合、(3), (4) の結果からどちらの方が曲げに強い設計であると言えるか答えよ。また、その理由を「曲げ剛性」という言葉を用いて説明せよ。ただし、両者の縦弾性係数 E は等しいものとする。

縦弾性係数 E と断面二次モーメント I_z の積 EI_z は曲げ剛性と呼ばれ、部材の曲がりにくさを表す。本問において、 E は 2 つの部材で等しいので、曲げ剛性の大小は断面二次モーメントに依存する。このとき断面二次モーメントは、A の方が大きいので、B より曲がりにくいといえる (3), (4) の結果から、図心を通る軸 (本文での z 軸) から遠い場所に断面積を多く配置することが断面二次モーメントを上げるのに効果的であることがわかる。) 以下に模範解答を示す。

$$EI_{za} = \frac{700}{3}a^4E > \frac{268}{3}a^4E = EI_{zb} \quad (1.10)$$

解答 : A

理由：部材 A の断面二次モーメントは B の部材よりも大きいため、曲げ剛性が大きくなるから。

[2] 同一平面状で直角に折れ曲がっている片持ちはりがある。壁と棒の接着部分を O 点、棒が折れ曲がっている箇所を A 点、棒の先端を B 点とし、O 点および A 点で局所座標系を図 2.1 に示すように定義する。 S_0, S_1 はそれぞれ OA 間、AB 間における仮想断面であり、それぞれ x_0 軸、 x_1 軸に垂直である。棒には図 2.2 に示すように、棒の先端にモーメント M と、棒全体に下向きに一様な分布荷重 p が作用している。このとき、以下の問い合わせに答えよ。ただし、次のことに留意すること。

※断面力の基準となる軸は、添え字の番号と一致する軸に従うこと。FBD には断面力を書き入れること（ただし、断面力が 0 である場合は、書き入れる必要はない）。

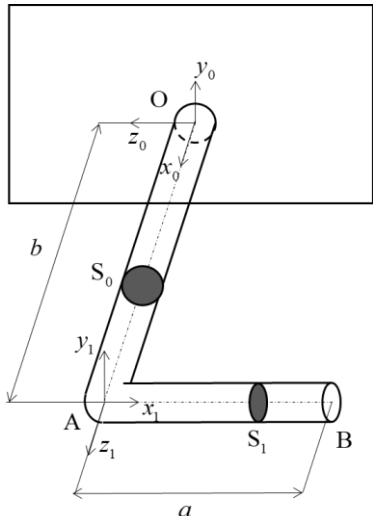


Fig. 2.1 中実丸棒

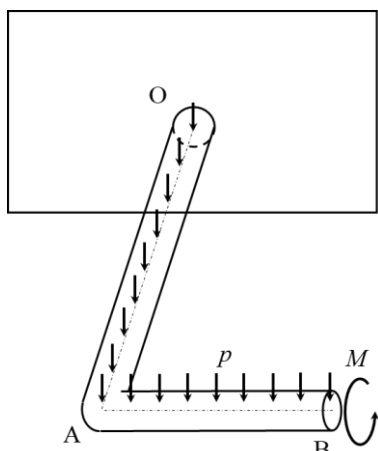


Fig. 2.2 中実丸棒にかかる荷重とモーメント

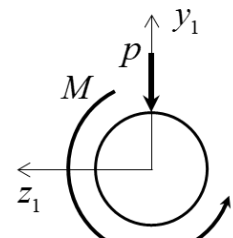


Fig. 2.3 棒の先端から見た図

(1) モーメント M のみ作用している場合を考える。

- (a) 仮想断面 S_1 に作用する断面力($F_x^1, F_y^1, F_z^1, M_x^1, M_y^1, M_z^1$)を位置 x_1 の関数として表せ。
- (b) 仮想断面 S_0 に作用する断面力($F_x^0, F_y^0, F_z^0, M_x^0, M_y^0, M_z^0$)を位置 x_0 の関数として表せ。

(2) 分布荷重 p のみ作用している場合を考える。

- (a) 仮想断面 S_1 に作用する断面力($F_x^1, F_y^1, F_z^1, M_x^1, M_y^1, M_z^1$)を位置 x_1 の関数として表せ。
- (b) 仮想断面 S_0 より B 点側にある部材の、 z_0 軸方向および z_1 軸方向から見たときの FBD をそれぞれ書け。
- (c) 仮想断面 S_0 に作用する断面力($F_x^0, F_y^0, F_z^0, M_x^0, M_y^0, M_z^0$)を位置 x_0 の関数として表せ。
(モーメントの正負に注意せよ。)

(3) モーメント M と分布荷重 p の両方が作用しているとき、仮想断面 S_1 に作用する断面力($F_x^1, F_y^1, F_z^1, M_x^1, M_y^1, M_z^1$)、仮想断面 S_0 に作用する断面力($F_x^0, F_y^0, F_z^0, M_x^0, M_y^0, M_z^0$)をそれぞれ求めよ。

(1) モーメント M のみ作用している場合を考える.

(a) 仮想断面 S_1 に作用する断面力 $(F_x^1, F_y^1, F_z^1, M_x^1, M_y^1, M_z^1)$ を位置 x_1 の関数として表せ.

断面力は図 2.4 および図 2.5 に示す向きを正とする. 負の面では断面力の正負が反転することに注意する. また, モーメントの向き (M_z) は, はりの曲げを考えるときとは異なることに注意する.

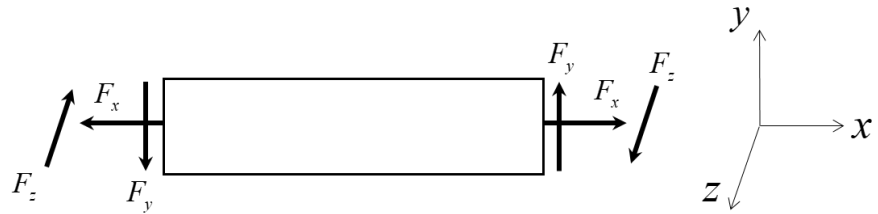


Fig. 2.5 断面力の正負 (軸力, セン断力)

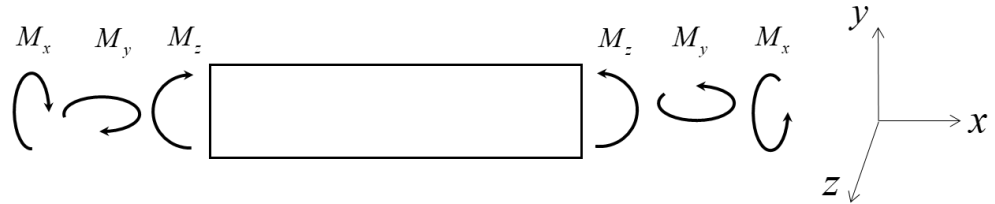


Fig. 2.5 断面力の正負 (モーメント)

仮想断面 S_1 より B 点側の部材（部材①とする）について FBD を書くと、図 2.6 のようになる.

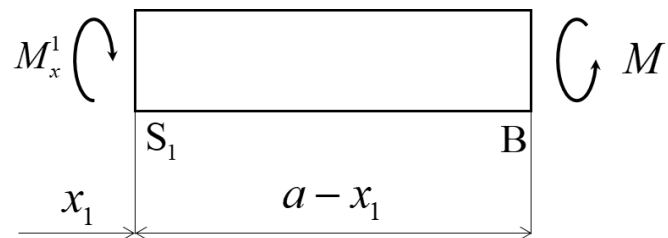


Fig. 2.6 モーメントのみ作用下の、 z_1 軸方向から見た部材①の FBD

よって、仮想断面 S_1 に作用する断面力は、

$$(F_x^1, F_y^1, F_z^1, M_x^1, M_y^1, M_z^1) = (0, 0, 0, M, 0, 0) \quad (2.1)$$

となる.

(b) 仮想断面 S_0 に作用する断面力 $(F_x^0, F_y^0, F_z^0, M_x^0, M_y^0, M_z^0)$ を位置 x_0 の関数として表せ.

仮想断面 S_0 より B 点側の部材（部材②とする）について FBD を書くと、図 2.7 のようになる。

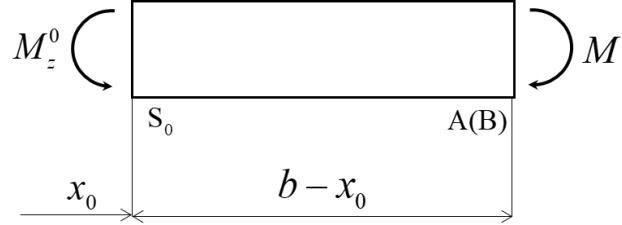


Fig. 2.7 モーメントのみ作用下の、 z_0 軸方向から見た部材②の FBD

よって、仮想断面 S_0 に作用する断面力は、

$$(F_x^0, F_y^0, F_z^0, M_x^0, M_y^0, M_z^0) = (0, 0, 0, 0, 0, -M) \quad (2.2)$$

となる。

(2) 分布荷重 p のみ作用している場合を考える。

(a) 仮想断面 S_1 に作用する断面力 $(F_x^1, F_y^1, F_z^1, M_x^1, M_y^1, M_z^1)$ を位置 x_1 の関数として表せ.

仮想断面 S_1 より B 点側の部材（部材①）について FBD を書くと、図 2.8 のようになる。

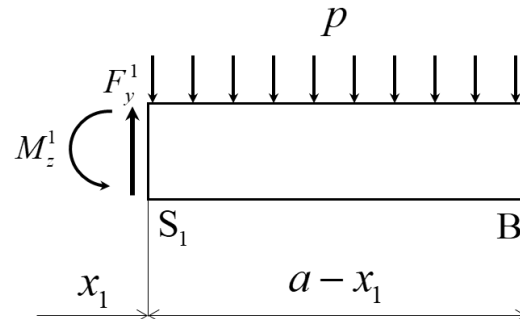


Fig. 2.8 分布荷重のみ作用下の、 z_1 軸方向から見た部材①の FBD

図 2.8 より、断面力の正負を考慮しながら力とモーメントのつり合いを考えると、

$$F_y^1 = -p(a - x_1) \quad (2.3)$$

$$M_z^1 = -\int_0^{a-x_1} pxdx = -\frac{1}{2}p(a - x_1)^2 \quad (2.4)$$

となる。よって、仮想断面 S_1 に作用する断面力は、

$$\left(F_x^1, F_y^1, F_z^1, M_x^1, M_y^1, M_z^1 \right) = \left(0, -p(a-x_1), 0, 0, 0, -\frac{1}{2}p(a-x_1)^2 \right) \quad (2.5)$$

となる。

- (b) 仮想断面 S_0 より B 点側にある部材の, z_0 軸方向および z_1 軸方向から見たときの FBD をそれぞれ書け。

仮想断面 S_0 より B 点側の部材（部材②）について FBD を書くと、図 2.9、図 2.10 のようになる。

図 2.9において pa は、AB間に作用する分布荷重を集中荷重に見立てたものである。同様に、図 2.10において $p(b-x_0)$ は、 S_0A 間に作用する分布荷重を集中荷重に見立てたものである。

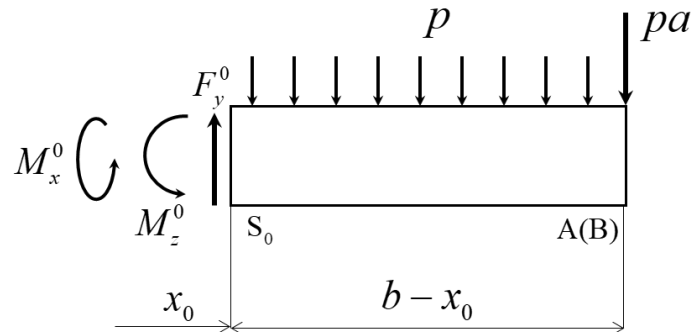


Fig. 2.9 分布荷重のみ作用下の, z_0 軸方向から見た部材②の FBD

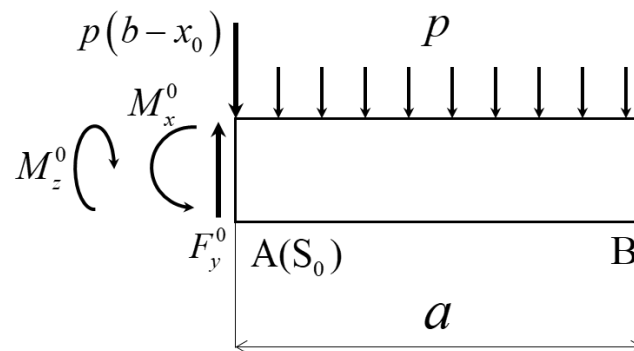


Fig. 2.10 分布荷重のみ作用下の, z_1 軸方向から見た部材②の FBD

- (c) 仮想断面 S_0 に作用する断面力 ($F_x^0, F_y^0, F_z^0, M_x^0, M_y^0, M_z^0$) を位置 x_0 の関数として表せ。
(モーメントの正負に注意せよ。)

図 2.9、図 2.10 より力とモーメントのつり合いを考えると、以下の式(2.6)～式(2.8)のようになる。このとき、モーメントの正負は図 2.9 をもとに考える必要があることに注意する（図 2.5 と軸方向を一致させる必要がある）。

$$F_y^0 = -pa - p(b - x_0) = -p(a + b - x_0) \quad (2.6)$$

$$M_x^0 = -\int_0^a pxdx = -\frac{1}{2}pa^2 \quad (2.7)$$

$$\begin{aligned} M_z^0 &= -pa(b - x_0) - \int_0^{b-x_0} pxdx \\ &= -pa(b - x_0) - \frac{1}{2}p(b - x_0)^2 \\ &= -\frac{1}{2}p(b - x_0)(2a + b - x_0) \end{aligned} \quad (2.8)$$

よって、仮想断面S₀に作用する断面力は、

$$\begin{aligned} &\left(F_x^0, F_y^0, F_z^0, M_x^0, M_y^0, M_z^0 \right) \\ &= \left(0, -p(a + b - x_0), 0, -\frac{1}{2}pa^2, 0, -\frac{1}{2}p(b - x_0)(2a + b - x_0) \right) \end{aligned} \quad (2.9)$$

となる。

(3) モーメント M と分布荷重 p の両方が作用しているとき、仮想断面S₁に作用する断面力($F_x^1, F_y^1, F_z^1, M_x^1, M_y^1, M_z^1$)、仮想断面S₀に作用する断面力($F_x^0, F_y^0, F_z^0, M_x^0, M_y^0, M_z^0$)をそれぞれ求めよ。

求める値は、(1)、(2)で個別に求めた断面力の値を合計すればよい。したがって、

$$\left(F_x^1, F_y^1, F_z^1, M_x^1, M_y^1, M_z^1 \right) = \left(0, -p(a - x_1), 0, M, 0, -\frac{1}{2}p(a - x_1)^2 \right) \quad (2.10)$$

$$\begin{aligned} &\left(F_x^0, F_y^0, F_z^0, M_x^0, M_y^0, M_z^0 \right) \\ &= \left(0, -p(a + b - x_0), 0, -\frac{1}{2}pa^2, 0, -\frac{1}{2}p(b - x_0)(2a + b - x_0) - M \right) \end{aligned} \quad (2.11)$$

となる。